

哈尔滨工业大学

学生科学研究报告选集

(电工部分)

庆祝国庆十週年

1959

目 录

- 以环氧为基础的新型电机絕緣材料的研究.....林永兴..... (1)
- 应用磁放大器——饱和电抗器控制的电弧炼鋼爐電極自动调节器
..... 工企专业交流电弧爐小組..... (9)
- 电力系統內过电压模拟設備中变压器模型的非線性元件的研究
..... 王鹵林..... (18)
- 2500/5安培直流互感器的研究..... 电測专业張金城等..... (25)
- QS—501交流电桥設計 电測专业沙琳等..... (36)
- 电动式0.5 級寬頻帶低功率因数瓦特表的設計 电測专业赵国权等..... (46)
- 带步式选择器的自动数字补偿器研究..... 电測专业梁志魁等..... (60)

以环氧为基础的新型电机绝缘材料的研究

林 永 兴

绝缘在电机中不可避免的要受到强电场、高温及机械振动等作用。在一些特殊情况下还要受到潮湿化学腐蚀和各种不同类型的过电压的作用。在这些因素的作用下绝缘不断地老化，渐渐地会使性能变坏，导致事故的产生。要想提高电机的运行寿命加强其抗老化的能力，对用于电机的绝缘材料及绝缘的结构都要提出较高的要求。对电机用的绝缘材料所提出的要求大的限制了适用于电机绝缘的电工绝缘材料的种类。从上世纪末叶一直到今天云母为基础的电机绝缘还是被广泛应用的。对以云母为基层的电机绝缘进行很多有价值的试验，进行了很多有益的研究工作，累积了許多运行和制造的经验和方法。五十多年来各国广泛的运用剥片云母作为电机绝缘材料经验证明用云母作为绝缘的电机足够的安全性，有高的介电性能，良好的耐热性，耐潮性，寿命也比较长。但随着电力系统的发展输电能量和距离的增加，电压等级不断的提高。高压电机对绝缘材料提出了更高的要求。满足这种要求仅用剥片云母为基础的材料量达不到的。首先以剥片云母为基础的电机绝缘最高工作温度为 105°C ，最高的抗电强度为20千伏/毫米同时云母比较脆在下线和电机运用中材料受振动等使其介电性能变坏，同时由于云母比较稀少，在所采用的云母矿中只有7—8%用于电气工业中，在7~8%之中仅有40%的云母片的面积达 $10\sim40\text{厘米}^2$ ，其余60%以上云母片面积只有 $4\sim6\text{平方厘米}$ 。这就是云母绝缘材料昂贵的原因之一。这就要求人们去寻找新的绝缘材料，首先想到的是利用面积较小的碎块云母将其在特殊处理之后制成粉云母纸用环氧树脂漆作为粘合剂所成的绝缘在电制上已经成功的得到了运用。如捷克列宁工厂用环氧树脂漆30~40%（以丙酮为溶剂）作粘合剂做成粉云母纸以玻璃布袋补强的40000千瓦汽轮发电机定子线圈。用热压的方法除去丙酮而形成象浇注绝缘的整体，使保护层绝缘内不致发生气泡。试验证明：它的介电损失角正切 $\text{tg}\delta$ 值比用真空浸胶绝缘大10%。耐压约为30千伏/毫米。试验同时证明13~15层的云母纸可以一次烘焙成型不必多次压制，节省了很多时间。但是目前对环氧的应用尚不熟，尤其用环氧树脂浇注尚存在二个待以解决的问题：1) 老化问题；2) 热膨胀系数的问题未得到圆满的解决。

我们与哈尔滨电机一起对环氧粉云母和环氧玻璃布的线圈进行了制试和研究。各国对粉云母绝缘材料的研究证实了它有以下的优点：

- 1) 厚度均匀；
- 2) 机械性能高；
- 3) 电气性能良好；
- 4) 耐热性高。

但在我们研究中尚存在二个问题未得到解决。

- 1) 环氧粉云母在高温时 $\text{tg}\delta$ 太大。在工作温度下 (105°C) 可达到60%，以

使其在高溫 (120°C) $3.5 U_{\text{H}}$ 時很快熱擊穿其壽命很低。

- 2) 环氧玻璃布耐壓很低很脆彈性差。

一、材料與工藝

粉云母袋是用哈尔滨絕緣厂生产的其平均厚度为 0.2 毫米 胶貼粘剂为环氧酚醛，
 $\frac{1}{2}$ 叠繞，层与层之間刷以环氧酚醛。

工艺上开始时与电机厂正常剥片云母的工序相同，即排綫繞白布袋弯折成形，加虫胶紙袋浸漬热压（溫度在 $140\sim 160^{\circ}\text{C}$ 下約 $20\sim 30$ 分鐘硬化）。

根据电机厂过去一个阶段的摸索和我們初步的尝试，发现运用粉云母紙絕緣碰到的第一个头痛的问题是高溫时介質損失角正切太大。（ 105°C 时大于 60%）因此在进行电压老化时即在 $2.5 U_{\text{H}} = 21$ 千伏 120°C 下很快就产生热击穿，因此怎样改善降低絕緣的 $\text{tg}\delta$ 和确定切合实际的电压老化，老化的試驗条件就成了迫不及待的问题。

二、介質損失

介質損失角正切 $\text{tg}\delta$ 太大，分析有以下几种因素：

- 1) 粉云母紙比較鬆軟；
- 2) 所有的溶剂为强極性的酒精，残存的溶剂使电导增大 电导損耗 增加 而引起 $\text{tg}\delta$ 增大。
- 3) 热理处的时间掌握的不好。热处理的时间不够时环氧未能由綫性结构变成網状和空間結構；热处理时间太长又相当热老化了使其电性能降低。
- 4) 鋼綫与銅綫間有空隙存在，由于空气的强烈游离而引起。
- 5) 所用的环氧树脂电气性能較差。

針對上邊問題做了如下的改进：

- i) 在真空中干燥以除去绝大部分溶剂和部分空气。干燥时我們希望溫度高一些溶剂容易跑掉节省时间，但又防止其硬化，故溫度应是不引起硬化的最大可能的溫度（大概在 70°C 左右）。真空中度不低于 10 毫米 Hg 同时提出以苯二甲酸酐代替酚醛以除掉热性溶剂酒精的作用。另外也作了一种含胶量比較大的作了試驗。
- ii) 对热处理时间之长短进行研究，企图找出較合适的时间，既能使其结构反应的完滿又能节省时间得出較良好的电气性能。
- iii) 对各种类型之环氧树脂加以試驗选择。
- iv) 企图寻找一种新的試驗絕緣寿命的方法。根据苏联經驗 $3.5 U_{\text{H}}$ ，空气溫度在 120°C 之下應該經受住 200 小時的考驗，但我們的絕緣最多只支持 $2\sim 3$ 个小时就击穿了。是否可以在低一些电压或較低的溫度下进行試驗，进而推出絕緣的寿命。

三、工藝改進中的試驗

环氧酚醛云母綫棒以 №0, №3 为代表做了如下試驗：

- ① 对热处理时间研究

如图1为6.0千伏下线棒 $tg\delta$ 的平均值对热处理时间的关系。由图可以清楚的看出 $tg\delta$ 对热处理时间的关系在前2~3小时降低的比较显著，在三小时以上曲线变化不大基本上平了。在以后进一步研究中得知三小时的热处理是不足的。大概在6小时左右

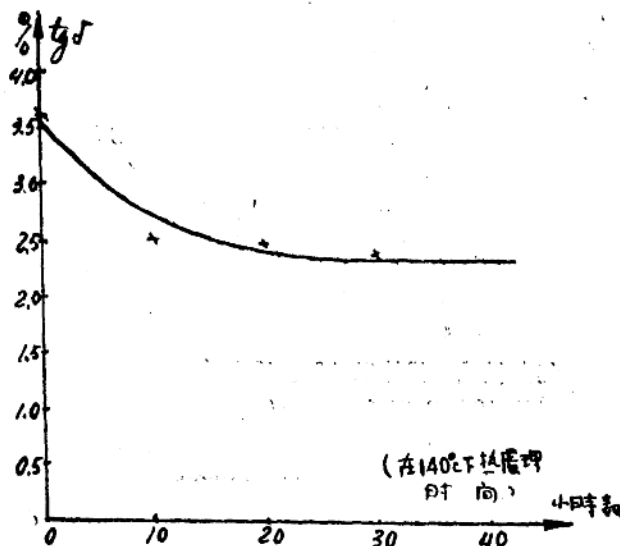


图1 $tg\delta=f(\tau)$

或稍长一点时间为恰当。当然时间更长还会降低，因为它的挥发物等跑掉的更多了；但与此同时不可避免的绝缘也在老化使其电抗性能下降。因此对热处理时间的长短应该全面考虑，老化后虽然降低但并无实际意义。

热处理之后在常温 20°C 测量

电压	$tg\delta\%$	R_3	$\Delta tg\delta$
3千伏	1.3	1521	
6千伏	2.4	1508	2.0%
9千伏	3.3	1482	

在高温 104°C 下测得平均 $tg\delta=59.4\%$ (电压为6KV)

由下边所测得的结果可以看出：常温下 $tg\delta$ 及 $\Delta tg\delta$ 均很小。这是我们所希望的，也是工艺上改进以后所得的良好效果。但是在 104°C 时， $tg\delta > 20\%$ 。因此必须进一步解决 $tg\delta$ 在高温时过大的问题。进一步就提出了用苯二甲酸酐代替酚醛作硬化剂。

(2) 苯二甲酸酐代替酚醛作为硬化剂

苯二甲酸酐来代替酚醛作为硬化剂是考虑到酚醛是以强极性的酒精为溶剂，降低了绝缘的介电性能。尤其当溶剂挥发不掉时更为严重；苯二甲酸酐是以甲苯为溶剂。酚醛不溶于甲苯那么为了除掉酒精的不良影响用苯二甲酸酐作为硬化剂可为上策。同时将两种硬化剂作成了标准选择进行了试验比较。

各种试样的成份

試樣№1, №3

配方：環氧樹脂100%，

苯二甲酸酐30%，

苯二甲酸二酚酯20%熱處理，

140°C 經過6小時，

介質損耗 (105±2°C, 6千伏測)

№1. $tg\delta = 45.8\%$, $R = 3200\text{歐}$; №5. $tg\delta = 111\%$, $R_3 = 567\text{歐}$ 。

№3. $tg\delta = 23.6\%$, $R = 376\text{歐}$; №6. $tg\delta = 110\%$, $R_3 = 1637\text{歐}$ 。

由上邊試驗可以看出以苯二甲酸酐為硬化劑電性能較好。用酚醛 $tg\delta > 100\%$ 這是我們採用苯二甲酸酐作為硬化劑的根據。但後來研究得知用苯二甲酸酐在工藝方面有不可克服弱點——昇華跑掉了，又回來研究酚醛。可能因為酚醛含有游離酚的量太大的原因而引起的。

苯二甲酸酐為硬化劑做成的線棒以 №5, №6 為例熱處理 5 小時後 $tg\delta = 33.5\%$, $R_3 = 1390\text{歐}$ 但在處理前 105°C 時為 $tg\delta = 64\%$ 。

(3) 對材料本身加以檢查

a) 將所用之環氧分別做成了標準試樣，進行試驗。試驗結果証實了環氧樹脂本身的性能較差在高溫時 $tg\delta$ 达 100% 以上。有必要對環氧進行選擇。

b) 在對材料進行試驗中還研究了不同配方對電性能的影響。對苯二甲酸酐含量 30% 及 35% 之間差別並未引起 $tg\delta$ 的顯著變化。在常溫時含苯二甲酸酐為 30% 的 $tg\delta$ 為低；而在高溫時含量 35% 的為低但二者相差不大無實際意義。

(4) 對含膠量大小的研究

當我們進行電壓老化試驗時 (3.5U_H, 120°C) 線圈在較短的時間內損壞。損壞以後將其切開發現層與層之間粘貼的不好。這是由於含膠量不適宜所造成的。含膠量大的我們也進行了試驗但其結果指出 $tg\delta$ 在高溫時無顯著的改善！經過較長時間的處理之後仍在 50% 以上。含膠量大可以粘貼得好些但尺寸太大；溶劑太少反而起不了粘貼作用故一般應該採用 50% 左右為宜。

四、對 $tg\delta = f(\tau)$ 的研究

我們做了許多的特性曲線如圖 2

由圖 2 可以看出用苯二甲酸酐為硬化劑的環氧粉云母的 $tg\delta$ 值上升得較快。同時在 50~60°C 左右即達到 20%。對雲母浸膠 線圈和環氧化玻璃布在 105~110°C 時才上升。在前一階段的 $tg\delta$ 值很低很平。由這一點看苯二甲酸酐作為硬化劑， $tg\delta$ 在高溫時太大就會使絕緣在運用溫度下由於熱而擊穿之。

五、 $tg\delta = f(u)$ 介質損耗與電壓的關係

圖 3 示出的為環氧化酚醛粉雲母的 $tg\delta = f(u)$ 。

圖 4 示出的為環氧化玻璃布的 $tg\delta = f(u)$ 。

圖 5 示出的為各種不同材料所製成的電機線棒的 $tg\delta = f(n)$ 的比較。

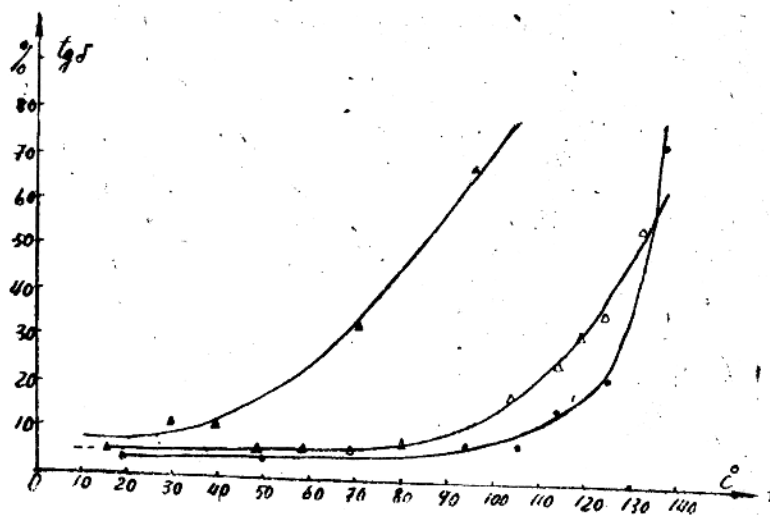


图 2 各种不同的絕緣材料組成絕緣的 $\operatorname{tg}\delta = f(T)$ 的比較

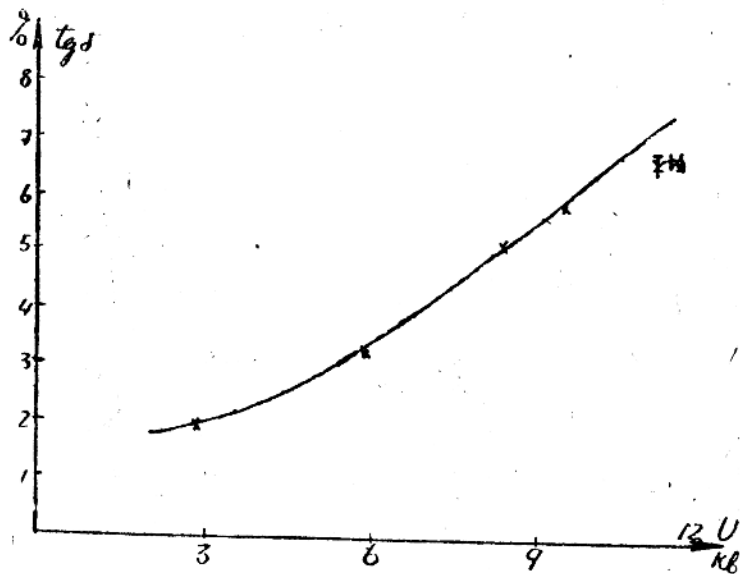


图 3 环氧粉云母在室温 20°C 时的 $\operatorname{tg}\delta = f(u)$ (电压为 6kV 下测得)

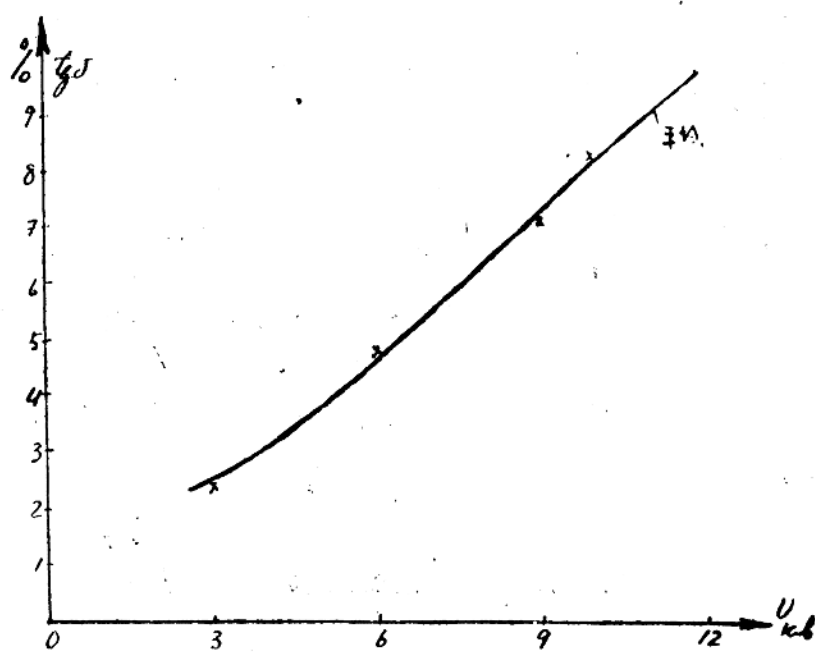


图 4 环氧玻璃布 $\text{tg}\delta = f(u)$ (20°C 下测得)

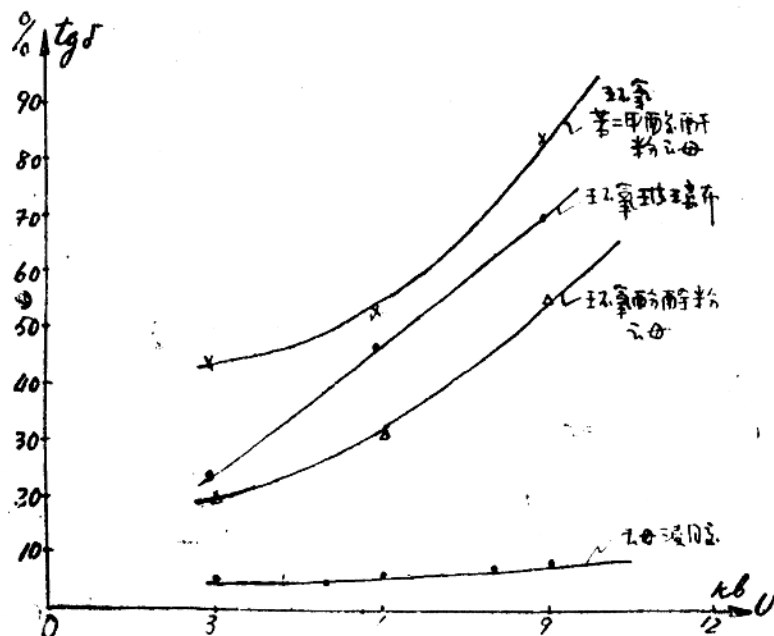


图 5 各种不同绝缘 $\text{tg}\delta = f(u)$

由这些曲線的形狀可以得出絕緣的損耗主要是電導損耗，極化損耗不起作用。各種絕緣的 $\tan \delta = f(u)$ 特性的比較可以看出以苯二甲酸酐為硬化劑的粉云母線棒 $\tan \delta = f(u)$ 上昇的較快且其絕對值較高，環氧玻璃布它的特性近于直線，（圖中每一點均為平均值得出）環氧酚醛的 $\tan \delta$ 值最低，上昇的梯度與苯二甲酸酐大致一樣。浸膠云母線圈具有最低的值且隨電壓上昇比較緩即曲線較平這也是云母浸膠線圈的具有良好的抗電老化特性的原因之一。

因為以環氧為基礎的絕緣在我們研究試制中它的 $\tan \delta$ 豐大且隨電壓和溫度上升增加的很快，所以要想用新的環氧為基礎的材料必須進一步解決 $\tan \delta$ 使在高溫時具有較低的數值。

六 热處理時間對的影響

圖 6 示出的為環氧酚醛粉云母的 $\tan \delta$ 與熱處理（ 140°C 下）時間的關係。

圖 7 示出為環氧以苯二甲酸酐為硬化劑的粉云母的 $\tan \delta = f(\tau)$ 的關係。

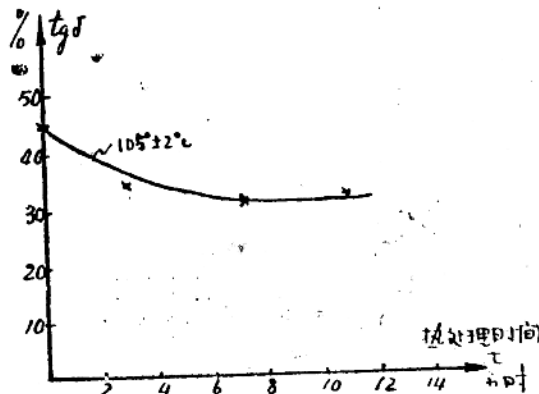


图 6 环氧酚醛粉云母之 $\tan \delta = f(\tau)$

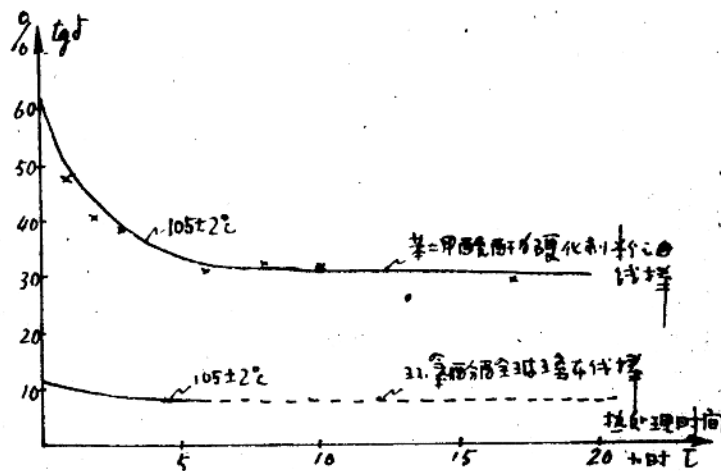


图 7 环氧酚醛玻璃布及环氧苯二甲酸之 $\tan \delta = f(\tau)$

兩圖均在 6.0 千伏 下測得

由圖知，在未處理前具有較高的數值。在處理 5~6 小時的時間 $t g \delta$ 內下降的比較顯著。這是因為以環氧為基礎的材料在 140°C 時其結構發生變化，使原來的線性結構向網狀空間立體結構發展，空間結構有較高的介電性能，其損失也比較大故 $t g \delta$ 下降。經過一個階段之後結構的變化趨於穩定則其介電性能也穩定了，故 $t g \delta$ 值在 6~7 小時以上的熱處理之後，處理時間再增加則其也基本不變了。

七、抗電強度

這次研究中因為時間緊，注意力多放在改善介質損耗對抗電強度研究得不充分。

① 對環氧粉云母（不論何種硬化劑）其抗電強度一般的可達到 30 千伏左右擊穿。絕大部分均安全的通過 21 千伏的耐壓一分鐘的考驗。

② 環氧玻璃布的擊穿電壓太低，大部分不通過 21 千伏一分鐘耐壓試驗，均在 $10 \div 18 \text{kV}$ 上擊穿。追其原因可能因為玻璃布繞的不緊所致。

八、電壓老化

① 環氧粉云母（酚醛為硬化劑）

N^o1 線棒在 120°C 下，21 千伏支持 9'15''

N^o3 線棒在 $100 \pm 2^{\circ}\text{C}$ ，18 千伏支持 17 小時 10'

N^o2 線棒在 $100 \pm 2^{\circ}\text{C}$ ，18 千伏支持 22 小時 11'

② 苯二甲酸酐為硬化劑的環氧粉云母

N^o7 号線棒 110°C ，18 千伏支持 4 大時 16'35''

N^o9 号線棒 110°C ，零時 26'

N^o3 号線棒 110°C ，2 小時 19'19''

③ 環氧酚醛玻璃布

N^o15 線棒 $100 \pm 5^{\circ}\text{C}$ ，18 千伏支持 5 小時 50'29''

蘇聯對 6.6 千伏的電機的絕緣浸膠云母線圈的老化研究能在 120°C ，21 千伏之下經受 200 小時的考驗，顯然我們這裡得出的低了很多。總之上邊結果指出我們所採用的新絕緣不管是常溫時擊穿電壓或抗老化的強度都是低的。其中重要的一个原因是因為在高溫高壓下 $t g \delta$ 很高，如上節中所提到的。在作壽命試驗時會因發熱而很快地被擊穿。環氧玻璃布的擊穿電壓太低可能因為玻璃較厚而且硬，包紮不緊的緣故。

總結以上我們對新的環氧為基礎的絕緣材料在電機上的應用進行了初步的嘗試。找出了一些問題但還存在着如前所述的尚待解決的問題，此外對以新絕緣材料作為電機絕緣的線圈的結構尚待研究。環氧樹脂在澆注互感器方面已得到成功的運用，相信在電機方面不久在我國也會很快的被實現。今后在這方面可否將粉云母與玻璃混合起來用。象撻克列寧廠試製的以玻璃布作為補強同時用丙酮作為溶劑，這樣既可以消除強極性酒精的作用，同時在混合運用中能更好的注意玻璃布與粉云母的特性改善，使其包紮的更緊。

应用磁放大器—饱和电抗器控制的 电弧炼钢爐电极自动調節器

工业企业电气化专业

交流电弧爐小組

§ 1.

自从党中央提出了以鋼为綱全面跃进的号召以后，在全国范围内掀起了全民性大办钢铁的轰轰烈烈的群众性运动，在1958年11月召开的中国共产党八届中央委员会第二次全体会议上，曾討論了1959年发展国民经济的主要任务和方針，提出了四大指标，其中就有鋼产量一千八百万吨（这数字几乎为1958年的一倍）。从这个发展的数字来看我国钢铁工业的发展速度是很迅速的。随着工业的，发展需要优质钢材的数量越来越多而其中的相当一部份优质钢材都需要用电弧炼钢爐进行冶炼。目前世界上工业較发达的国家采用电弧炼钢已占相当大的比重，我們国家也不能例外，而目前国内电弧炼钢爐电極的自动調節器绝大部分都采用电机放大机（ЭМУ）或直流系統，这种系統目前在运行和实践的过程中已发现了不少缺点，因此产生想用无触点元件（如饱和电抗器、磁放大器）所組成的交流传动系統来代替現有的 ЭМУ 式直流系統的想法，这也是在电力传动領域内发展方向之一，然而新的磁放大器—饱和电抗器（МУ-ДН）式交流传动系統的方案存在着一系列新的技術問題尚未得到解决，所以很长时间以来沒有被采用。去年我国大跃进以来，如上所述对电弧炼钢爐的需要量大大增加，但是国产的电机放大机和直流机从数量上和質量上都远远不能滿足日益发展的电爐的需要，如仅北京市就有十三台爐子由于只缺乏电控部份而不能投入生产，正由于这个原因使得許多电弧爐不能为 1200 万吨而发挥其应有的作用更嚴重的还在于 1200 万吨鋼的指标的实现受到阻碍，鉴于上述情况采用 МУ-ДН 或交流传动系統已提到日程上来，而且已經成为当前生产中迫切需要解决的問題。

我校在党中央指出了“教育为无产阶级政治服务，教育与生产劳动相结合”的方針以后，在党的领导下把当前生产上提出的迫切需要解决的課題作为这次我們小組的結业工作題目并与北京起重机厂在一起研究来解决这个問題。在研究的过程中克服了种种困难（如資料不足，材料不全，經驗沒有……等），在各级党组织的领导下，领导干部、工人、技术人員、教师、学生五結合，既动脑又动手，發揮了敢想敢說又敢做的共产主义风格，經過几个月的苦战，终于在今年七月初在北京起重机厂胜利地炼出了第一爐工具鋼，經過技术鑑定，證明 МУ-ДН 式交流传动系統性能良好，能滿足电爐所提出的要求数，同时通过静态与动态的計算与分析，結果也与鑑定相符，肯定了 МУ-ДН 式交流传动系統可用于生产。

我們专业与北京起重机厂合搞的这套设备是用在1.5吨的爐子上，在过去所收集的实验資料的基础上还将进一步从实践运行中和理論分析作出最后的技術經驗結論，下面仅就我們小組所作过的工作做一般性的技術經驗交流，希望得到有关单位和同志們指正。

§ 2. 與 ЭМУ 式直流傳動系統比較

ЭМУ 系統	МУ-ДН系統
技術上：	技術上：
① 高速旋轉体有振动噪音	① 无旋转，无振动噪音，系无触点元件
② 有磨损	② 没有磨损
③ 經常发生电枢短路，炭刷脱落炭刷移动等故障。	③ 没有
④ 制造維护检修困难	④ 制造简单，維护检修容易
經驗上：	經驗上：
① ЭМУ ②与直流电机造价貴，且需要十二台电机，初步計算造价为12956元	① МУ-ДН 造价便宜，只需用四台交流机，計算造价为 5594 元
② 要增加厂房基建面积	②不需要

§ 3. 基本工作原理

通过电弧爐的几种自动调节器技術性能和經驗比較，这里包括 МУ-ДН 式交流传动系統方案在內最后确定采用 МУ-ДН 式交流系統中的电比較方案是比较好的，本系统的工作原理見附图所示。

图中：电弧电压和电弧电流是分别取自电流互感器和电压变压器通过矽整流片整流后加到平衡电阻 R_1 和 R_H 上，磁放大器控制線圈接到平衡电阻的两端，而磁放大器输出电流分別接到饱和电抗器的直流控制線圈，正常工作时，平衡电阻平衡，因此 МУ 不工作，此时 ДН 不饱和电流电压几乎大部份降落在电抗器上，电动机不能起动。

当爐内发生短路时，电流信号加大，于是 МУ-1 控制信号增加，而此时 МУ-2 由于控制線圈并联一硒片短路輸入信号值因此不能工作，随着 МУ-1 輸入信号增加，ДН-3,4 饱和也增加，从而使电动机端电压也增加。电極即向上提，电机平衡臂又保持平衡时即产生制动。

反之，当爐内断弧时，МУ-2 工作而相应控制之“ДН-1,2 工作，此时加于电动机上的相序相反，电动机即往反方向起动。

系統的手动控制是由附图中的手控开关 KK 来操縱的，手动控制保証了电極移动机构的手动提升及下降电極，手动控制仍借外加整流电源“BC”供給磁放大器信号来达到的。

§ 4. 系統幾項主要技術問題

本系統在做开路試驗时发现 (i) 电动机起动轉矩不够，起制动所需之过渡过程时间很长 (ii) 調节器的灵敏度差，調节过渡过程慢，控制不灵，饱和电抗器饱和不

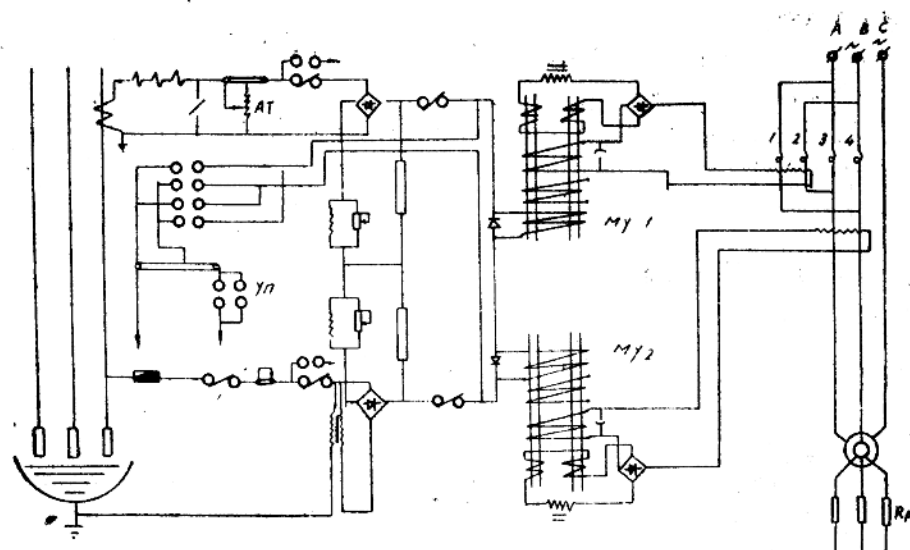


图 1

好等，且經測得在飽和電抗器反接和電源所構造的回路中，環流電流值相當大，(iii)試驗時測得本系統的電流的不靈敏區很大高達百分之五十(iv)在試制元件過程中由於選用材料及製造缺乏經驗，使得在作試驗時會連續發生過直流線圈間短路及絕緣選用不當線圈發生變形，從而安裝不上去等問題，結果使試驗無法進行。在做開路試驗時發現本系統不穩定不能工作，根據上述情況經我們小組討論和參考文獻Ф.Е.Ефроимоваг Фейгини電弧爐自動調節提到的電爐的工藝要求後一致確定下列幾個問題為本系統的幾個主要技術問題：(i) 电动机的起动轉矩問題；(ii) 环流問題；(iii) M_U 的放大系数問題；(iv) 元件的结构及工艺問題，(v) 稳定問題等，只有解決了上述五個問題本系統才能應用於生產下面就針對上述存在的五個技術問題進行研究和解決。

(1) 本系統中設法解決加大電動機的起動轉矩問題

在這裡我們採用了電機定子不對稱接法，且定子有一相直接接電源，在不增加附加

設備的情況下來改善電動機的起動所用的理論分析方法是對稱分量法，根據文獻 М. П. Костенко著電機學“特殊部份”定子不對稱電機的起動轉矩為正序轉矩分量與負序轉矩分量之差，在此我們給定不同的 x 值可以求出相應的起動轉矩 M_a 若 M_a 的值大於靜摩擦轉矩 M_e (即 $M_a > M_e$) 則電機可以起動，我們就根據此 x 值來設計飽和電抗器交流線圈匝數 W_r ，從而標出飽和電抗器的其它參數。

不對稱接法如圖 2 所示。前提假定：

- ① 饱和电抗器视为近似线性元件，电机磁

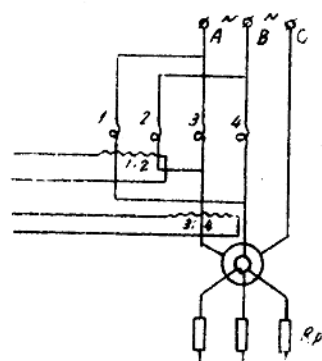


图 2

路也视为不饱和。

- ② 电网送来的电压为对称；
- ③ 忽略饱和电抗器的电阻；
- ④ 每一个饱和电抗器参数认为是相同；

计算的方法：

(i) 转换的等值线路图 (图 3)

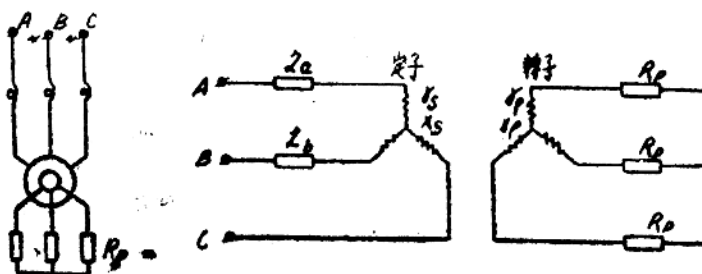


图 3

(ii) 正序分量 (图 4)

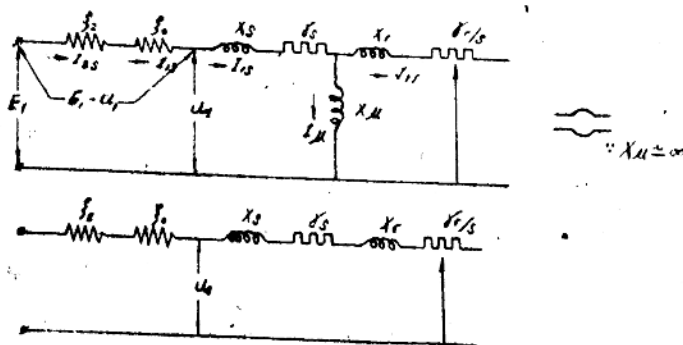


图 4

(III) 复序分量 (图 5)

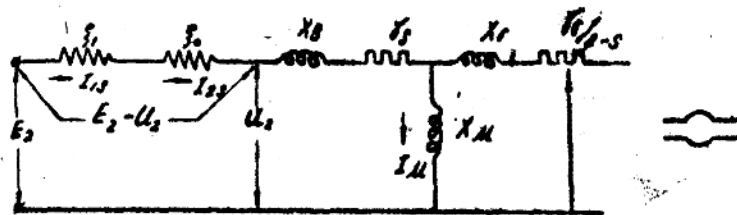


图 5

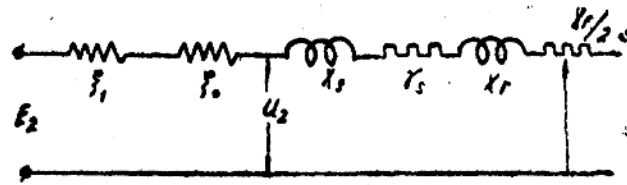


图 6

其中: x_r , y_r 为转子折合到定子上的 x_p , y_p

ξ_0 , ξ_1 , ξ_2 各为定子绕组中串接不平衡阻抗的另序分量、正序分量和负序分量。

无另线 \therefore 无另序分量 x_p 很大, $\therefore I_{10} \approx 0$ 。

根据不对称分量法可写成方程式如下:

$$\begin{cases} \dot{E}_0 = \xi_0 \dot{I}_0 + \xi_1 \dot{I}_1 + \xi_2 \dot{I}_2 + \dot{U}_0 \\ \dot{E}_1 = \xi_1 \dot{I}_1 + \xi_0 \dot{I}_2 + \xi_2 \dot{I}_0 + \dot{U}_1 \\ \dot{E}_2 = \xi_2 \dot{I}_0 + \xi_1 \dot{I}_2 + \xi_0 \dot{I}_1 + \dot{U}_2 \end{cases}$$

$$\begin{cases} \dot{U}_0 = \dot{I}_0 z_0 \\ \dot{U}_1 = \dot{I}_1 z_1 \\ \dot{U}_2 = \dot{I}_2 z_2 \end{cases}$$

式中: z_0 , z_1 , z_2 分别为感应电动机的另序阻抗、正序阻抗和负序阻抗。

I_0 , I_1 , I_2 分别为另序电流、正序电流和负序电流 \therefore 电机无性点, \therefore 另序分量为零 $\dot{U}_0 = 0$ 。转子电阻用 $R_p = 3$ 欧, 3 欧, 3 欧理论计算结果得

- ① 定子不对称 $R_p = 3$ 欧
- ② 定子不对称 $R_p = 1.5$ 欧
- ③ 定子对称 $R_p = 1.5$ 欧
- ④ 定子对称 $R_p = 3$ 欧

$$M_c = 0.7 \text{ 公斤米}$$

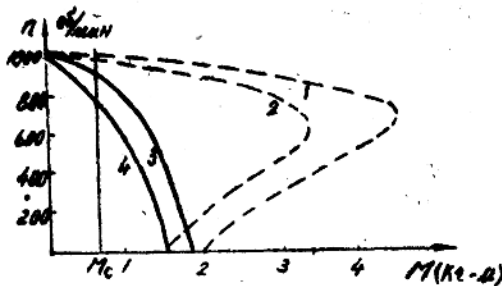


图 7

实验结果

	定子电阻 R_s 欧	转子电阻 R_p 欧	ΔH 直流电流微安
1	10	3 3 3	580 起动
2	10	3 2 3	650 起动
3	20	3 3 3	不起动
4	3	3 3 3	550 起动
5	0	3 3 3	530 起动
6	0	3 2 3	550 起动

- 结论：① 实验结果与理论计算分析的结果相符；
 ② 采用了定子不对称从 $n=f(M)$ 看，转矩大对起动转矩很有利，试验也证明了电机容易起动且起动后速度很快上去；
 ③ 可节省八个饱和电抗器减少投资。

$$\left\{ \begin{array}{l} \xi_0 = \frac{1}{3}(z_a + z_b + z_c) = \frac{1}{3}j(x_a + x_b + x_c) = \frac{1}{3}jx_a \times 2 \\ \quad [\text{依假定: } \lambda_a = \gamma_b = 0, x_a = x_b, x_c = 0] \\ \xi_1 = \frac{1}{3}(z_a + az_b + a^2z_c) = \frac{1}{3}(\gamma_a + a\gamma_b + a^2\gamma_c) + \frac{1}{3}j(x_a + ax_b + a^2x_c) \\ \quad - \frac{1}{3}j(x_a + ax_b) \\ \xi_2 = \frac{1}{3}(z_a + a^2z_b + az_c) = \frac{1}{3}(\gamma_a + a^2\gamma_b + a\gamma_c) + \frac{1}{3}j(x_a + a^2x_b + ax_c) \\ \quad = \frac{1}{3}x_a + a^2x_b \end{array} \right.$$

其中， a 称为相因子

$$a = e^{j120^\circ} = \cos 120^\circ + j \sin 120^\circ = -\frac{1}{2} + j\frac{\sqrt{3}}{2}$$

$$a^2 = e^{j240^\circ} = \cos 240^\circ + j \sin 240^\circ = -\frac{1}{2} - j\frac{\sqrt{3}}{2}$$

电网电压为对称

$$\dot{E}_1 = 0 \quad \dot{E}_2 = 0$$

又无中性点

$$\dot{U}_1 = 0 \quad \dot{i}_0 = 0$$

则上述的方程式可写成

$$\dot{E}_1 = (\xi_0 + z_1) \dot{i}_1 + \xi_2 \dot{i}_2 = \xi_0 \dot{i}_1 + \xi_0 \dot{i}_2 + \dot{U}_1 = E \quad (8)$$

$$\dot{E}_2 = \xi_1 \dot{i}_1 + (\xi_0 + z_2) \dot{i}_2 = \xi_1 \dot{i}_1 + \xi_0 \dot{i}_2 + \dot{U}_2 = 0 \quad (9)$$

$$\dot{U}_1 = z_1 z_2 \quad (10)$$

$$\dot{U}_2 = z_2 \dot{i}_2 \quad (11)$$

解方程 (8), (9), (10) 与 (11) 得

$$\begin{cases} \dot{i}_1 = E_1 \frac{\xi_0 + z_2}{(\xi_0 + z_1)(\xi_0 + z_2) - \xi_1 \xi_2} \\ \dot{i}_2 = -\dot{E}_1 \frac{\xi_1}{(\xi_0 + z_1)(\xi_0 + z_2) - \xi_1 \xi_2} \\ \dot{U}_1 = E_1 \frac{z_1(\xi_0 + z_2)}{(\xi_0 + z_1)(\xi_0 + z_2) - \xi_1 \xi_2} = i_1 z_1 \\ \dot{U}_2 = -\dot{E}_1 \frac{\xi_1 \xi_2}{(\xi_0 + z_1)(\xi_0 + z_2) - \xi_1 \xi_2} = i_2 z_2 \end{cases}$$

由于正负电流的存在 ∴ 产生正负序转矩

$$\text{正序: } M_1 = I_1^2 \frac{\gamma_r}{s} \quad \text{负序: } M_2 = I_2^2 \frac{\gamma_r}{2-s}$$

总的合成转矩为

$$M = M_1 - M_2 = I^2 \frac{\gamma_r}{2-s}$$

采用 MT 型的感应电动机。

(2) 环流电流问题

由于本系统为正反转调节系统，因此出现环流问题，由于环流的存在使调节器灵敏度，过渡过程等性能均变差，为了改善系统运行性能，我们采用了加大饱和电抗器电抗值（有一定限制，根据 $M_n = f(x)$ 曲线和 M_n 的值来选），减小磁放大器的空载电流和串接消磁环节来达到减小环流的其中接入消磁环节，改善性能良好，本系统不宜采用串入电阻来减小环流，因为减小了起动力矩，这是不希望的。

消磁环节简单工作原理：（如图 8）在电流比较臂回路串接 DH-3,4 部份控制线圈，3'-4'于电压比较臂中接入 DH-1,2 部份控制线圈 1'-2'，使消磁线圈中产生磁势和